

< 論 文 >

圓孔이 있는 有限 直交異方性 Graphite/E
Laminate의 應力集中係數

洪 昌 善*

(1980年 5月 20日 接受)

Stress Concentration Factors for Finite Orthotropic
Graphite/E Laminates with a Circular Hole

C. S. Hong

Abstract

Stresses were calculated for finite-width orthotropic laminates with a circular hole and remote uniaxial loading using a two-dimensional finite-element analysis with both uniform stress and uniform displacement boundary conditions. Five different laminates were analyzed: quasi-isotropic $[0^\circ/\pm 45^\circ/90^\circ]_s$, $0^\circ, 90^\circ, [0^\circ/90^\circ]_s$, and $[\pm 45^\circ]_s$. Computed results are presented for selected combinations of hole diameter—sheet-width ratio d/w and length-to-width ratio L/w . For small L/w values, the stress-concentration factors K_{In} were significantly different for the uniform stress and uniform displacement boundary conditions. Typically, for the uniform stress condition, the K_{In} values were much larger than for the infinite-strip reference condition; however, for the uniform displacement condition, they were only slightly smaller than for this reference.

The results for long strips are also presented as width-correction factors. For $d/w \leq 0.33$, these width-correction factors are nearly equal for all five laminates.

기 호 설 명

- d 圓孔의 直徑, m
- E_{xx} x -方向의 탄성계수, MPa
- E_{yy} y -方向의 탄성계수, MPa
- G_{xy} 전단계수, MPa
- $K_{I\theta}$ 총단면 응력집중계수, $(\sigma_{\theta\theta})_{max}/S_\theta$
- K_{In} 순단면 응력집중계수 $(\sigma_{\theta\theta})_{max}/S_n$
- K_∞ 무한판 응력집중계수
- L 평판의 길이, m
- R 圓孔의 半徑, m
- S_θ 총단면 공칭응력
- S_n 순단면 공칭응력
- w 평판의 폭, m

- ν_{xy} Poisson 비
- $\sigma_{\theta\theta}$ θ -方向의 응력성분, MPa

1. 序 論

실제 구조물에는 많은 圓孔이 있으며, 그 圓孔주위에 應力集中이 생긴다는 것은 잘 알려진 사실이다. 圓孔주위에 생기는 응력상태를 특징지을 때 보통 應力集中係數를 사용한다. 無限板에 圓孔이 있는 문제를 일찌기 Kirsch¹⁾가 보고한 이래 학문적으로는 물론 실제적인 문제로서 많은 관심의 대상이 되었다. 그러나 Kirsch의 解는 圓孔이 있는 等方性이고 無限板인 경우에 제한되고 있다. 실제구조물은 Kirsch가 가정하듯이 無限板이 아닌 有限인 경우가 많으며 그 解는 경우에 따라 상당한 차이를 보여주고 있다. 금속재료의

* 正會員, 韓國科學院 航空工學科

경우에는 有限이고 等方性인 평판에 圓孔이있는 應力集中係數에 대한 자료를 문헌으로부터 구할 수 있다.²⁾ 최근에 複合材料의 利點이 관심을 끌고 있으며 그 應用이 증대됨에 따라 直交異方性材料에 대한 연구 및 자료가 요청되고 있다. 그러나 複合材料에 관한 有限平板의 應力集中係數는 잘 알려져 있지 않다. 다만 直交異方性인 無限平板에 圓孔이 있는 경우는 문헌으로부터 구할 수 있다.³⁾ 길이가 無限이고 幅이 有限인 等方性板의 문제는 Howland⁴⁾가 보고하였다. 平板의 幅에 비하여 圓孔의 直徑이 매우 큰 극단적인 경우는 Koiter⁵⁾가 보고하였다.

본 논문의 목적은 直交異方性인 複合材料에 圓孔이 있을 경우에 생기는 應力集中係數를 여러가지 변수, 즉 圓孔의 直徑, 平板의 幅 및 길이, 섬유 방향에 따른 綫형적인 積層, 그리고 두가지 서로 다른 경계조건인 균일한 응력 및 균일한 변위를 가해지는 경우를 有限要素法을 이용하여 구하였다.

2. 理論解 및 應力集中係數

直交異方性板에 圓孔이 있는 無限板인 경우의 應力集中係數는 다음과 같다.³⁾

$$K_{\infty} = 1 + \sqrt{\frac{E_{xx}}{G_{xy}} - 2\nu_{xy} + 2\sqrt{\frac{E_{xx}}{E_{yy}}}} \quad (1)$$

여기서 E_{xx} , E_{yy} 는 x 및 y 방향의 탄성계 수이고, G_{xy} 는 전단계수, ν_{xy} 는 Poisson比이다. 잊식으로부터 等方性인 경우에는 $K_{\infty}=3$ 이 됨을 알 수 있으며, Kirsch⁶⁾의 解와 일치함을 볼 수 있다.

혼동을 피하기 위하여 먼저 應力集中係數에 대한 용어부터 정의하도록 한다. 無限板의 경우에는 달리 有限板인 경우에는 應力集中係數를 두가지로 표시할 수 있는데 그 하나는

$$K_{t\theta} = (\sigma_{\theta\theta})_{max} / S_x \quad (2)$$

여기서 $K_{t\theta}$ 는 총단면應力集中係數이고, 최대집선응력 $(\sigma_{\theta\theta})_{max}$ 을 총단면공칭응력(S_x)으로 나눈 값이다. 이에 반해서 순단면應力集中係數 K_{tn} 은 다음과 같다.

$$K_{tn} = (\sigma_{\theta\theta})_{max} / S_n \quad (3)$$

여기서 S_n 은 圓孔을 뺀 순단면응력이다. 따라서 순단면응력과 총단면응력과의 관계는

$$S_n = S_x w / (w - d) \quad (4)$$

또한 K_{tn} 과 $K_{t\theta}$ 의 관계는

$$K_{tn} = K_{t\theta} (1 - d/w) \quad (5)$$

이며, 無限板인 경우는 幅에 비해 圓孔直徑 d 가 매우 작으므로, 즉 $d < w$,

$$K_{tn} = K_{t\theta} = K_{\infty} \quad (6)$$

잊식으로부터 無限板인 경우에는 K_{tn} 과 $K_{t\theta}$ 의 구별이 없어짐을 볼 수 있다.

3. 有限要素 應力解析

본연구에서 다루고 있는 일반적인 문제를 그림 1에 보였다. 圓孔直徑과 板의 幅比 d/w 와 板의 길이와 幅

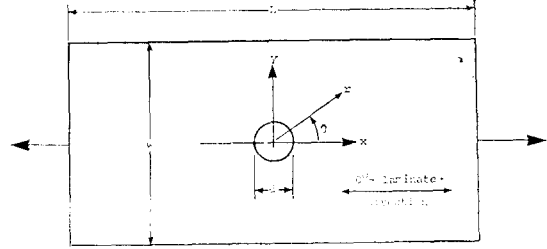
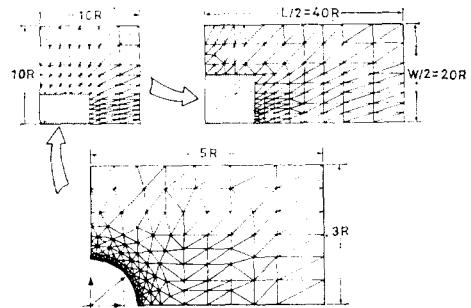
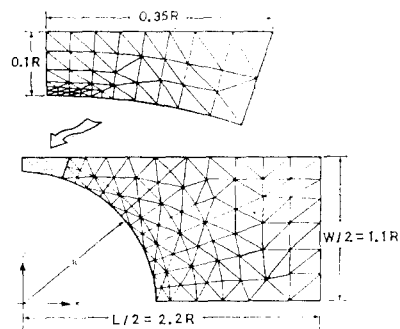


Fig. 1. Sheet configuration and loading.

比 L/w 를 골고루 선택하여 無限과 有限板의 두 극단적인 경우를 광범위하게 다루었다. 즉 $0.05 \leq d/w \leq 0.91$ 의 범위에서 일곱개의 d/w 를, L/w 는 1, 2 및 10을 택하였다. 圓孔直徑은 일정하게 두고 L 및 w 를 변경하여 사용하였다.



(a) Wide-sheet model.



(b) Narrow-strip model.

Fig. 2. Finite-element models.

그림 2는 본 연구에 사용한 有限要素模型이다. 그림 2(a)는 圓孔直徑에 비하여 板의 길이 및 幅이 큰 경우에 사용한 模型이고 그림 2(b)는 圓孔直徑이 매우 큰, 즉 $d/w=0.91$, 경우를 위해 특별히 要素가 조밀하게 이루어진 模型이다. 그림 2(a) 模型의 외각을 적절히 삭제해 나감으로서 여러가지의 d/w 및 L/w 값을 이용할 수 있다. 세가지 종류의 三角形要素를 사용하였으며, 圓孔주위에는 심한 應力集中이 예상됨으로 線形스트레인(6-node) 要素를 사용하고 나머지 부분은 均一스트레인(3-node) 要素를 사용하였다. 線形스트레인要素로부터 均一스트레인으로의 寸이구역은 혼성要素(4 혹은 5-node)를 사용하여 應力이나 스트레인이 급격히 변하는 부분으로 부터 완전히 변하는 寸역을 연결시키도록 하였다.

본 연구에서 사용한 有限要素法은 三角形要素를 節點이 3, 4, 5 및 6인 要素를 섞어서 사용한 것으로 節點이 6인 것으로부터 3인 경우에까지 적용하는 경위를 약속하고자 한다. 變位 u 및 v 를 area 좌표 ω_1, ω_2 및 ω_3 로 나타내면 다음과 같다.

$$u = \omega_1(2\omega_1 - 1)u_1 + \omega_2(2\omega_2 - 1)u_2 + \omega_3(2\omega_3 - 1)u_3 + 4\omega_2\omega_3u_4 + 4\omega_3\omega_1u_5 + 4\omega_1\omega_2u_6 \quad (7)$$

여기서 項 $u_i (i=1-6)$ 는 節點變位를 나타내며, area 좌표를 local x, y 좌표로 나타내면 다음과 같다.

$$\begin{cases} \omega_1 \\ \omega_2 \\ \omega_3 \end{cases} = \frac{1}{2A} \begin{cases} x_2y_3 - x_3y_2 & y_2 - y_3 & x_3 - x_2 \\ x_3y_1 - x_1y_3 & y_3 - y_1 & x_1 - x_3 \\ x_1y_2 - x_2y_1 & y_1 - y_2 & x_2 - x_1 \end{cases} \begin{cases} 1 \\ x \\ y \end{cases} \quad (8)$$

여기서 A =삼각형 면적이다.

위와 마찬가지로 방법으로 變位 v 도 나타낼 수 있다. 式(7)은 좌표변수 x 및 y 에 대한 2차多項式을 나타내며 6-節點要素에 해당된다. 3-節點要素의 變位를 나타내는 線形多項式은 式(7)에 다음과 같은 조건을 가함으로서 얻을 수 있다.

$$u_4 = \frac{1}{2}(u_2 + u_3); \quad u_5 = \frac{1}{2}(u_3 + u_1); \quad u_6 = \frac{1}{2}(u_1 + u_2) \quad (9)$$

혼성要素(4, 5-node)를 위해선 위의 조건중 어느하나 혹은 두개의 조건을 가함으로써 4-節點이나 5-節點要素의 變位를 구할수 있다. 일단 各節點에 대한 變位를 구한 후, 미분하여 스트레인을 구하고, modulus matrix를 사용하여 應力을 구하고 만일 각 lamina의 應力을 구하려면 modulus matrix를 각 lamina의 섬유방향에 따른 좌표변환을 하여 구하도록 한다. 본 연구에서 다른 바와 같은 圓孔이 있는 구조는 $x-y$ 좌표 보다는 극좌표성분으로 應力을 표시하는 것이 해석에 편리함으로 마지막으로 극좌표변환을 수행하면 된다.

* 1. Table I. Laminate constants.

Laminate	Elastic constants			
	E_{xx} , MPa	E_{yy} , MPa	G_{xy} , MPa	ν_{xy}
Quasi-isotropic $[0^\circ/\pm 45^\circ/90^\circ]_s$	57,890	57,890	22,090	0.310
0°	146,900	10,890	6,412	0.380
90°	10,890	146,900	6,412	0.028
$[0^\circ/90^\circ]_s$	79,500	79,500	6,412	0.052
$[\pm 45^\circ]_s$	22,250	22,250	37,770	0.735

본 연구에서 사용된 複合材料는 Graphite/Epoxy로서 그 재료상수 및 섬유 방향을 표 I에 표시하였다. 섬유방향이 0° 인 단층(lamina)의 상질을 이용하여 여러가지 섬유방향으로 이루어진 積層(laminate)의 재료상수를 구하였다. 섬유방향이 $[0^\circ/\pm 45^\circ/90^\circ]_s$ 인 積層을 準等方性(quasi-isotropic)이라 부르고 있지만, 평면應力상태에서는 모든 等方性조건을 만족함으로 균원에 있는 等方性 解와 그 결과를 비교하였다.

두가지 다른 경계하중을 각각 적용하여 有限한 平板의 應力集中係數를 구하였다. 즉 첫번째 경계하중으로서 x -축에 균일한 인장應력을 주었고, 두번째는 균일한 변위를 주었다. 비교하기 위하여 각 경우의 圓孔주위를 극부應력을 순간면 공칭應력(S_n)으로 나누어 無次元으로 표시하였다.

4. 結果 및 檢討

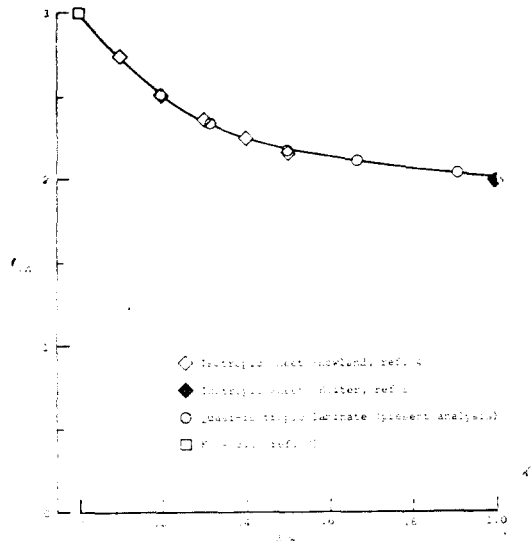


Fig. 3. Stress-concentration factors for a quasi-isotropic laminate with a circular hole and uniform stress boundary condition: $L/w=10$.

準等方性이고 $L/w=10$ 인 경우의 K_{In} 을 d/w 에 대하여 그림 3에 보였다. 다른 문헌[3-5]에 나타난 결과와 비교하기 위하여 그림 3에 함께 표시하였으며, 본연구 결과와 전 有限幅의 범위에 걸쳐 잘 일치하고 있으며, $K_{\infty}=3$ 인 값에 잘 수렴함을 볼 수 있다.

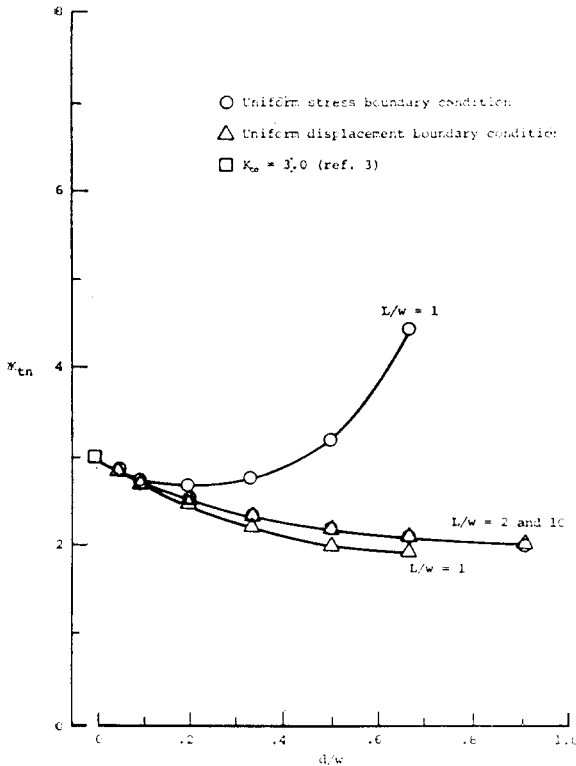


Fig. 4. Stress-concentration factors for a quasi-isotropic laminate with a circular hole.

그림 4는 傳等方性에 대한 모든 K_{In} 을 보여주고 있으며, 균일 응력과 균일변위의 경계조건을 함께 표시하였다.

균일응력일 경우에는 K_{In} 이 L/w 에 더욱 민감하게 변함을 볼 수 있으며, $L/w < 2$ 인 경우에는 균일변위를 주었을 때보다 K_{In} 이 훨씬 크게 나타난다. $L/w \geq 2$ 인 경우에는 경계조건이 균일응력이나 균일 변위에 관계없이 동일하다.

그림 5는 0° 단층판의 K_{In} 을 표시하고 있다. $L/w=0$ 인 경우에는 경계조건에 관계없이 K_{In} 이 동일하다. 따라서 $L/w=10$ 인 경우는 길이가 無限인 경우로 가정할

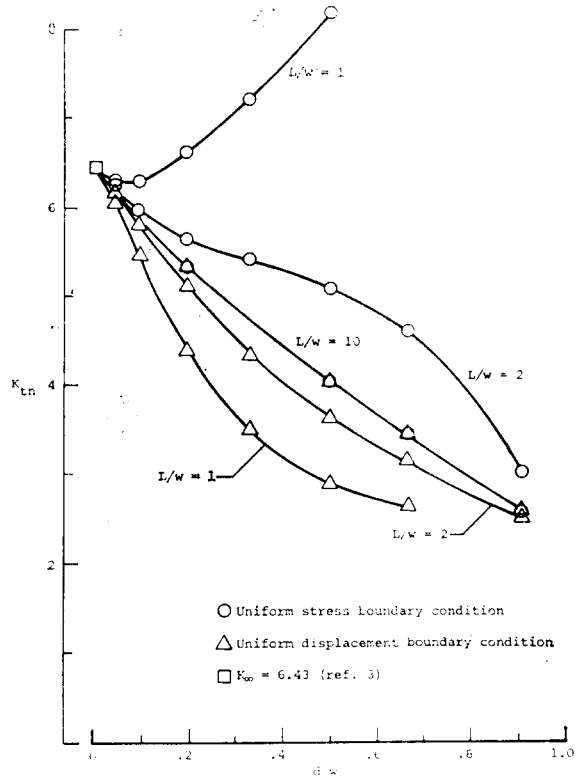


Fig. 5. Stress-concentration factors for a 0° laminate with a circular hole.

수 있다. $L/w=1$ 과 2인 경우에는 균일응력과 균일 변위의 경계조건이 매우 다른 K_{In} 을 펴이고 있으며, 傳等方性보다 그 차이가 매우 크다. 섬유방향이 0° 인 경우는 異方性을 가장 심하게 나타내는 경우로서 圓孔주위의 應力구배도 매우 심하기 때문에 有限要素模型의 정밀도를 점검하기 위해 사용하였다. 응력분포현상은 참고문헌[6]에 표시하였다. $L/w=10$ 이고 $d/w=0.05$ 인 경우에 식(5)를 이용하여 K_{In} 으로부터 $K_{I\sigma}$ 를 구하고, 균일변위와 균일응력조건의 $K_{I\sigma}$ 값 6.471 및 6.517을 각각 구하였다. 이 결과는 Lekhnitskii의 방법인 식(1)로 구한 $K_{\infty}=6.43$ 과 비교하여 각각 0.6% 및 1.3%가 크다.

그림 6은 섬유방향이 90° 인 경우의 K_{In} 이며, d/w 의 영향이 가장 적은 예이다. 그림 7은 $[0^\circ/90^\circ]_s$ 의 K_{In} 이며, 그 경향은 0° 와 90° 의 평균치에 해당한다.

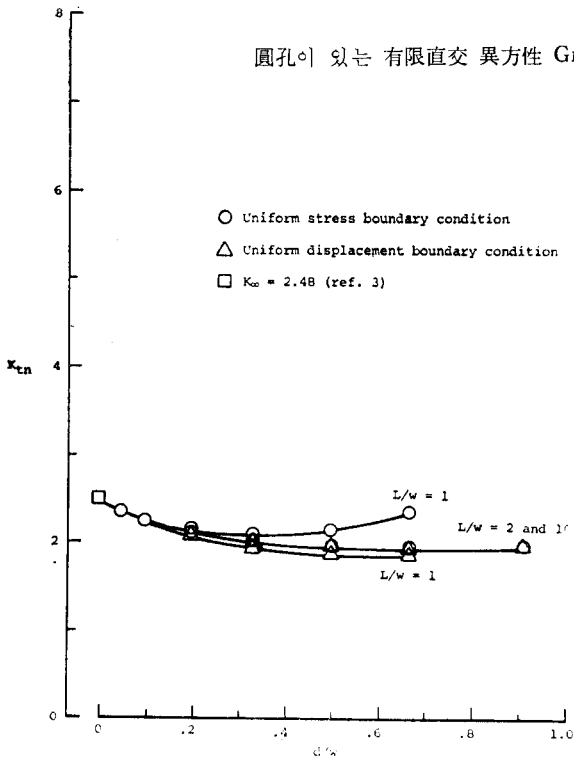


Fig. 6. Stress-concentration factors for a 90° laminate with a circular hole.

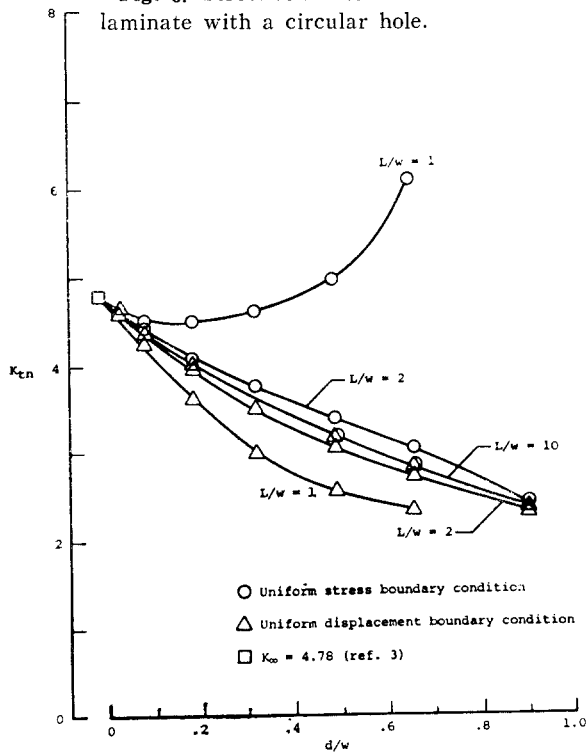


Fig. 7. Stress-concentration factors for a [0°/90°]_s laminate with a circular hole.

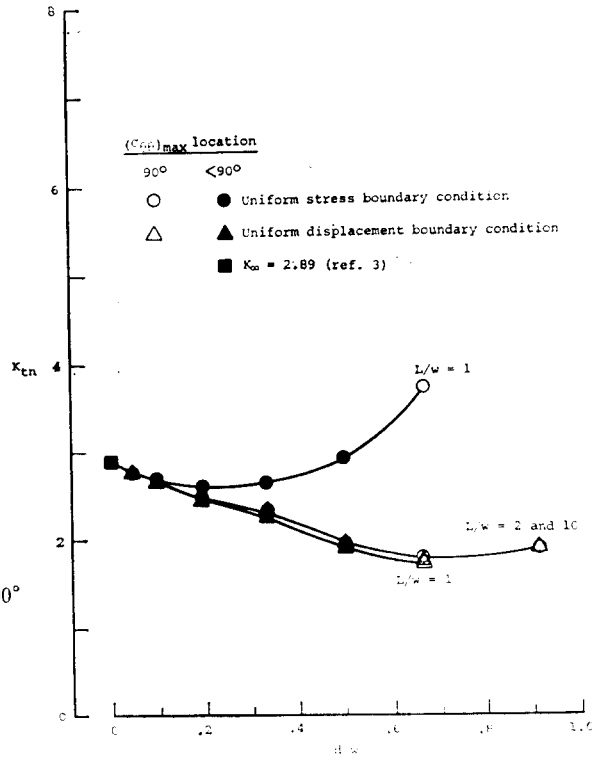


Fig. 8. Stress-concentration factors for a [±45°]_s laminate with a circular hole.

그림 8은 [±45°]_s積層의 K_{tn} 이며, 앞서 보인 결과와 좀 다른 현상이 있다. [±45°]_s에서는 $d/w \leq 0.5$ 일 경우에 $(\sigma_{\theta\theta})_{max}$ 이 $\theta = 60^\circ$ 근처에서 발생하고 있으며, $d/w > 0.5$ 일 경우엔 $\theta = 90^\circ$ 에서 $(\sigma_{\theta\theta})_{max}$ 이 존재한다[문헌 6]. 따라서 $(\sigma_{\theta\theta})_{max}$ 의 위치가 d/w 에 따라 변함으로 좀 특이한 K_{tn} 곡선을 보이고 있으며, $L/w = 1$ 인 경우를 보면 균일변위의 경계조건이 균일응력 경계조건보다 無限板의 결과에 더 잘 접근하고 있음을 볼 수 있다.

그림 9는 有限幅이고 길이는 無限인 경우의 각 複合積層을 비교하기 위하여 표시하였다. $d/w = 0$ 일 경우에 K_{tn} 값은 2.48부터 6.43에 이르고 있음을 等方性인 경우의 3과 비교하여 흥미로운 현상이다. 그러나 $d/w = 1$ 인 극단적인 경우를 보면 모든 값이 매우 좁은 범위 즉 1.9로부터 2.3사이에 수렴함을 볼 수 있다. 그림으로부터 0°인 경우엔 d/w 의 영향을 가장 많이 받고 있음을 알 수 있다.

参 考 文 献

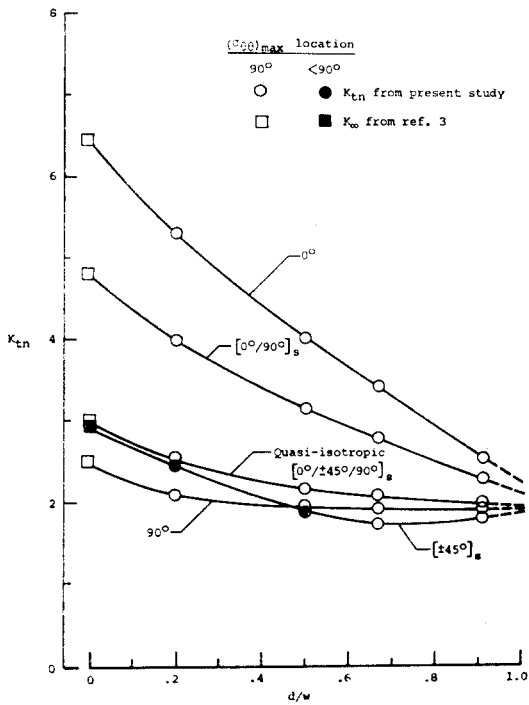


Fig. 9. Stress-concentration factors for orthotropic laminates with a circular hole and uniform stress boundary condition; $L/w=10$.

1. S. Timoshenko and J. N. Goodier, *Theory of Elasticity*, McGraw-Hill, New York, 1970.
2. R.E. Peterson, *Stress Concentration Factors*, John Wiley & Sons, New York, 1974.
3. S.G. Lekhnitskii, *Theory of Elasticity of an Anisotropic Elastic Body*. Holden-Day, Inc. (San Francisco), 1963.
4. R.C.J. Howland: On the Stresses in the Neighbourhood of a Circular Hole in a Strip Under Tension. *Philos. Trans. R. Soc. London, ser. A* Vol. 229, Jan. 6, 1930, pp. 49-86.
5. W.T. Koiter,: An Elementary Solution of Two Stress Concentration Problems in the Neighbourhood of a Hole. *Appl. Math.* Vol. XV, No. 3, Oct. 1957, pp. 303-308.
6. C. S. Hong and J. H. Crews, Jr., "Stress Concentration Factors for Finite Orthotropic Laminates with a Circular Hole and Uniaxial Loading", NASA TP-1469, May 1979.

